

Couverture du risque de défaut des CDOs

Areski COUSIN

Université Claude Bernard Lyon 1,
ISFA

Groupe de travail - Chaire Risque de Crédit - Evry 31 Janvier 2008
Travail conjoint avec Jean-Paul LAURENT et Jean-David FERMANIAN:
"*Hedging default risk of CDOs in Markovian contagion models*"
disponible sur defaultrisk.com



Introduction

- Marché action, taux d'intérêt : évaluation de produits dérivés basée sur le coût d'une stratégie de couverture
- Sur les marchés des CDOs, ce n'est pas le cas :
 - Interaction entre risque de spread et risque de défaut, grande dimension du portefeuille de crédit, incertitude sur les taux de recouvrement
 - En pratique, couverture locale du risque de spread dans un modèle copule Gaussienne - base corrélation
- Nécessité de relier l'évaluation des dérivés de crédit au prix de la couverture



Introduction

- But de la présentation
 - Étudier le problème de la couverture des CDOs
 - Dans le cadre des modèles de contagion où le risque de défaut gouverne le risque de spread
 - Exposer une méthode pratique de détermination de stratégies de couverture pour des tranches de CDO sur Indice standardisé
- Plan de la présentation
 - Approche théorique
 - Couverture des CDOs à l'aide d'arbres binomiaux
 - Stratégies de replication - CDOs sur indice Itraxx



Temps de défaut

- Portefeuille composé de n références
- τ_1, \dots, τ_n : temps de défaut définis sur un espace de probabilité (Ω, \mathcal{A}, P)
- $N_i(t) = 1_{\{\tau_i \leq t\}}$, $i = 1, \dots, n$: indicatrices de défaut à la date t
- $\mathcal{H}_{i,t} = \sigma(N_i(s), s \leq t)$, $i = 1, \dots, n$: filtrations individuelles des temps de défaut
- $\mathcal{H}_t = \bigvee_{i=1}^n \mathcal{H}_{i,t}$: filtration globale des temps de défaut



Temps de défaut

- On suppose qu'il n'y a **pas de défauts simultanés** : $P(\tau_i = \tau_j) = 0$ pour $i \neq j$
 - Entre t et $t + dt$, l'ensemble des états possibles est de taille $n + 1$: $\{\emptyset, \{1\}, \dots, \{n\}\}$
 - 2^n états en cas de possibilité de défauts simultanés
- On suppose que **les temps de défaut admettent des intensités** : il existe des processus α_i^P , $i = 1, \dots, n$ positifs et \mathcal{H}_t -prévisibles tels que :

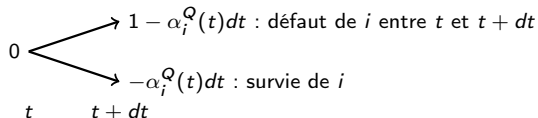
$$N_i(t) - \int_0^t \alpha_i^P(s) 1_{\{\tau_i > s\}} ds, \quad i = 1, \dots, n$$

soient des martingales par rapport à la filtration \mathcal{H}_t .



Hypothèses de marché

- On suppose qu'il existe sur le marché des **CDS digitaux instantanés** côtés sur chaque sous-jacent du portefeuille
- Qu'est ce qu'un CDS digital instantané sur le nom i ?
 - Acheteur de protection reçoit 1 en cas de défaut du nom i entre t et $t + dt$
 - En échange, une prime de $\alpha_i^Q(t)dt$ couvrant la période $[t, t + dt]$ est versée au vendeur de protection



- Cash-flow en $t + dt$: $dN_i(t) - \alpha_i^Q(t)dt$
- Pas de risque de spread spécifique : les primes de CDS, $\alpha_1^Q, \dots, \alpha_n^Q$, sont supposées être des processus prévisibles par rapport à la filtration \mathcal{H}_t (cadre de [BJR\(2007\)](#), [BCJR\(2007\)](#))



Probabilité risque neutre

- Par absence d'opportunité d'arbitrage, on a :

$$\{\alpha_i^Q(t) > 0\} \stackrel{P-p.s}{=} \{\alpha_i^P(t) > 0\}, i = 1, \dots, n$$

- Sous certaines hypothèses de régularité, il existe une probabilité Q équivalente à P telle que, $\alpha_1^Q, \dots, \alpha_n^Q$ soient les (Q, \mathcal{H}_t) -intensité des temps de défaut ([Brémaud](#), chap.VI)



Couverture et théorème de représentation de martingale

- On cherche à couvrir un actif risqué M , \mathcal{H}_T -mesurable, Q -intégrable
- Théorème de représentation de martingale (Brémaud chap. III) : il existe des processus \mathcal{H}_t -prévisible, $\theta_1, \dots, \theta_n$ tels que :

$$M = E^Q[M] + \sum_{i=1}^n \int_0^T \theta_i(t) \left(dN_i(t) - \alpha_i^Q(t) 1_{\{\tau_i > t\}} dt \right)$$

- Réplication de M en investissant initialement $E^Q[Me^{-rT}]$ dans l'actif sans risque et en prenant en t , sur la période $[t, t + dt]$, une position sur les CDS instantanés des noms survivants
 - Pour le nom i par exemple, prise de position en t sur $\theta_i(t)e^{-r(T-t)}$ CDS instantané relatif au nom i
 - Gain potentiel épargné en $t + dt$ au taux r
 - Perte potentiel emprunté en $t + dt$ au taux r
- Coût de la réplication en t : $V_t = E^Q[Me^{-r(T-t)} | \mathcal{H}_t]$



Modèles de contagion Markovien

- Contagion : les intensités $\alpha_1^Q, \dots, \alpha_n^Q$ dépendent de l'historique complète des défauts
- Cadre Markovien : on suppose que les intensités dépendent uniquement de l'état courant des défauts :

$$\alpha_i^Q(t, N_1(t), \dots, N_n(t)), \quad i = 1, \dots, n$$

- Kusuoka(1999), Jarrow et Yu(2001), Yu(2007) : intensités sont des fonctions affines de $N_1(t), \dots, N_n(t)$



Homogénéité du portefeuille de crédit

- Couverture de tranche de CDO sur **indice standardisé**
- On suppose que les intensités pré-défaut sont les mêmes pour tous les noms et ne dépendent que du processus du nombre de défauts :

$$\alpha_1^Q = \dots = \alpha_n^Q = \alpha^Q(t, N(t))$$

où $N(t) = \sum_{i=1}^n N_i(t)$ (approche mean-field)

- Formes paramétriques : $\alpha^Q(t) = a + bN(t)$, [Frey et Backhaus \(2007\)](#), $\alpha^Q(t) = a \times b^{N(t)}$, [David et Lo \(2001\)](#)
- Hypothèse standard d'homogénéité pour la modélisation de la perte agrégée d'un indice standardisé :
 - taux de recouvrement R identique pour tous les noms et déterministe
 - exposition identique pour tous les noms

$$L(t) = (1 - R) \frac{N(t)}{n}$$



Evaluation risque neutre

- Pas de défauts simultanés : l'intensité λ de $N(t)$ est simplement la somme des intensités individuelles des noms survivants :

$$\lambda(t, N(t)) = (n - N(t)) \alpha^Q(t, N(t))$$

- $N(t)$ est alors une chaîne de Markov à temps continue de matrice génératrice :

$$\Lambda(t) = \begin{pmatrix} -\lambda(t, 0) & \lambda(t, 0) & 0 & & 0 \\ 0 & -\lambda(t, 1) & \lambda(t, 1) & & 0 \\ & & \ddots & \ddots & \\ 0 & & & -\lambda(t, n-1) & \lambda(t, n-1) \\ 0 & 0 & 0 & 0 & 0 \end{pmatrix}$$

- Correspond à l'approche collective de [Schönbucher \(2006\)](#) ("one step representation of the loss distribution")



Evaluation risque neutre

- Exemple : Evaluation d'une "tranchelet" zero-coupon versant $1_{\{N(T)=k\}}$ en T :
 - Coût de la réplication en t :

$$V(t, N(t)) = e^{-r(T-t)} Q(N(T) = k | N(t))$$

- On peut relier le vecteur des prix $V(t, \cdot) = (V(t, 0), \dots, V(t, n))^T$ au vecteur des cash-flows terminaux $V(T, \cdot) = (\delta_{1,k}, \dots, \delta_{n,k})^T$ par la matrice de transition $\mathbf{Q}(t, T)$:

$$V(t, \cdot) = e^{-r(T-t)} \mathbf{Q}(t, T) V(T, \cdot)$$



Evaluation risque neutre

- La matrice de transition de $N(t)$ vérifie les équations de Kolmogorov forward et backward :

$$\frac{\partial \mathbf{Q}(t, T)}{\partial t} = -\Lambda(t)\mathbf{Q}(t, T), \quad \frac{\partial \mathbf{Q}(t, T)}{\partial T} = \mathbf{Q}(t, T)\Lambda(T)$$

- Dans le cas d'une matrice génératrice homogène en temps $\Lambda(t) = \Lambda$, la matrice de transition s'exprime simplement comme une exponentielle de matrice :

$$\mathbf{Q}(t, T) = \exp((T - t)\Lambda)$$

- Approche mise en pratique par [van der Voort \(2006\)](#), [Herbertsson et Rootzén \(2006\)](#), [Arnsdorf et Halperin \(2007\)](#), [Kock et Kraft \(2007\)](#), [Epple et al. \(2007\)](#), [Herbertsson \(2007\)](#) et [Lopatin et Misirpashaev \(2007\)](#)



Détermination des stratégies de réplication

- Couverture d'un CDO zero-coupon de prix de réplication $V(t, N(t))$ par un Indice zero-coupon de prix de réplication $V_I(t, N(t))$
- Par homogénéité du portefeuille de crédit, $dN(t) = \sum_{i=1}^{n-N(t)} dN_i(t)$ et en appliquant la formule d'Itô à V et V_I , on peut exprimer la dynamique de V et de V_I en fonction de celle des CDS digitaux instantanés :

$$dV(t, N(t)) = rV(t, N(t))dt +$$

$$\sum_{i=1}^{n-N(t)} (V(t, N(t) + 1) - V(t, N(t))) \times (dN_i(t) - \alpha_i^Q(t, N(t))dt)$$

- la dynamique de V peut alors s'exprimer en fonction de celle de V_I :

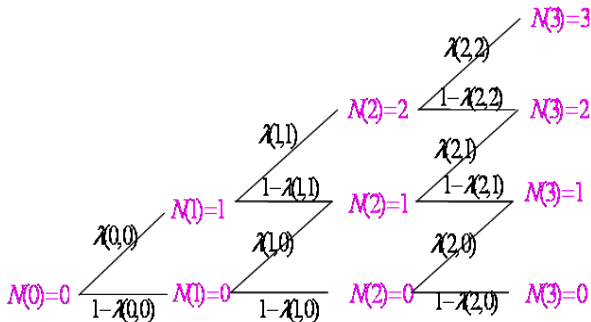
$$dV(t, N(t)) = r \times (V(t, N(t)) - \delta_I(t, N(t))V_I(t, N(t))) dt + \delta_I(t, N(t))dV_I(t, N(t))$$

$$\text{où } \delta_I(t, N(t)) = \frac{V(t, N(t) + 1) - V(t, N(t))}{V_I(t, N(t) + 1) - V_I(t, N(t))}$$



Evaluation et Couverture dans un arbre

- Version discrète du modèle de contagion Markovien : Arbre binomial des états

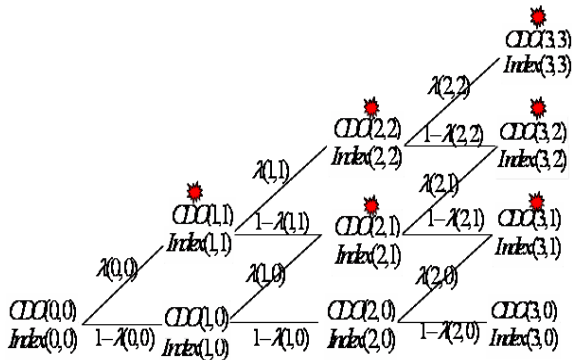


- $\lambda(0, 0), \lambda(1, 0), \lambda(1, 1), \lambda(2, 0), \dots$ peuvent être calibrés à partir d'une "loss surface" de marché par une procédure forward



Evaluation et Couverture dans un arbre

- Calcul des prix des tranches de CDO et de l'indice dans l'arbre par procédure backward



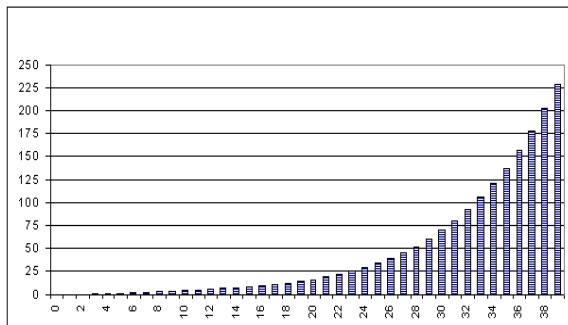
- Calcul des ratio de couverture :

$$\delta_I(t, k) = \frac{CDO(t+1, k+1) - CDO(t+1, k)}{Index(t+1, k+1) - Index(t+1, k)}$$



Résultats et remarques

- Couverture de tranche de CDO sur indice Itraxx : $n = 125$ références, taux d'intérêt $r = 3\%$, taux de recouvrement $R = 40\%$, maturité $T = 5$ ans
- Intensité homogène en temps : $\lambda(t, k) = \lambda(k)$, $k = 0, \dots, 125$
- Calibration des $\lambda(k)$, $k = 0, \dots, 125$ à partir de données de marché :



Résultats et remarques

- Dynamique des **spreads d'indice** en fonction du nombre de défauts :

Nb Defaults	Weeks			
	0	14	56	84
0	20	19	17	16
1	0	31	23	20
2	0	95	57	43
3	0	269	150	98
4	0	592	361	228
5	0	1022	723	490
6	0	1466	1193	905
7	0	1870	1680	1420
8	0	2243	2126	1945
9	0	2623	2534	2423
10	0	3035	2939	2859



Résultats et remarques

- Dynamique des **deltas tranche equity [0, 3%]** en fonction du nombre de défauts :

Nb Defaults	OutStanding Nominal	Weeks			
		0	14	56	84
0	3.00%	0.541	0.617	0.823	0.910
1	2.52%	0	0.279	0.510	0.690
2	2.04%	0	0.072	0.166	0.304
3	1.56%	0	0.016	0.034	0.072
4	1.08%	0	0.004	0.006	0.012
5	0.60%	0	0.002	0.002	0.002
6	0.12%	0	0.001	0.000	0.000
7	0.00%	0	0	0	0



Résultats et remarques

- Dynamique des **deltas tranche mezzanine [3%, 6%]** en fonction du nombre de défauts :

Nb Defaults	OutStanding Nominal	Weeks			
		0	14	56	84
0	3.00%	0.139	0.134	0.096	0.060
1	3.00%	0	0.168	0.197	0.179
2	3.00%	0	0.118	0.197	0.268
3	3.00%	0	0.061	0.111	0.187
4	3.00%	0	0.029	0.049	0.085
5	3.00%	0	0.016	0.021	0.034
6	3.00%	0	0.016	0.012	0.014
7	2.64%	0	0.022	0.011	0.008
8	2.16%	0	0.031	0.014	0.007
9	1.68%	0	0.031	0.020	0.010
10	1.20%	0	0.023	0.021	0.013
11	0.72%	0	0.014	0.014	0.012
12	0.24%	0	0.005	0.005	0.005
13	0.00%	0	0	0	0



Résultats et remarques

- Comparaison entre deltas trader (salle de marché) et deltas de réplication :

	[0.3%]	[3.6%]	[6.9%]	[9.12%]	[12.22%]
market deltas	27	4.5	1.25	0.6	0.25
model deltas	21.5	4.63	1.63	0.9	0.6



Conclusion

- Sous certaines hypothèses :
 - Pas de défauts simultanés
 - Risque de spread gouverné par le risque de défaut
- Marché complet : couverture de tranches de CDO avec des CDS digitaux instantanés associés aux références du portefeuille sous-jacent
- Dans un cadre un peu plus restrictif :
 - Cadre Markovien
 - Homogénéité du portefeuille de crédit
- Il est possible de répliquer parfaitement des tranches de CDO avec l'indice et l'actif sans risque
- Mise en oeuvre simple et rapide d'une méthode de calcul des ratios de couverture

